

## دراسة شعاعية عن التشریح القنوي وعدد الجذور وتصنيفها في الرحي الاولى السفلية الدائمة في

### عينة من المجتمع السوري باستخدام التصوير الشعاعي المخروطي المحوسب CBCT

\* أ.د طلال النحلاوي

(الإيداع: 10 تموز 2024، القبول: 3 آيلول 2024)

الملخص:

نظراً لكون مورفولوجيا الجذور متغيرة ومعقدة للغاية أجريت العديد من الدراسات المخبرية الوصفية بهدف فهم التشریح الداخلي للجذور بشكل أفضل لتقديم المعالجة اللبية الأمثل، إذ أن الهدف من هذا البحث معرفة عدد جذور الرحي الاولى السفلية الدائمة وأشكال التقاء الأقنية ضمن الجذر الواحد عند الجنسين الذكور والإإناث عند الشعب السوري. تألفت عينة الدراسة من 850 صورة CBCT (425 صورة للإناث، 425 صورة للذكور). قرأ الصور طبيبان مختصان وسجل جنس المريض وعدد الجذور وعدد الأقنية ضمن كل جذر وأشكال التقاء الأقنية وتفرعها حسب تصنيف العالم Vertucci وذلك من خلال دراسة الصورة وفق جميع المستويات (3D\_Oplique\_Axial\_Coronal\_Sagittal) لدى كلا الجنسين الذكور والإإناث. وجمعت البيانات وسجلت على برنامج Microsoft Excel ومن ثم أجريت الاختبارات الإحصائية باستخدام برنامج SPSS واستخدام اختبار كاي-مربع لمقارنة النسب المئوية بين الذكور والإإناث. بلغت النسبة الأكبر لعدد الجذور في الرحي الاولى السفلية الدائمة ضمن العينة المدروسة شكل الجذرين المنفصلين (النمط الرابع) (عند الذكور بنسبة 100% وعند الإناث بنسبة 95.9% وفي كامل العينة بنسبة 97.2%). بينما كان شكل الجذر الانسي (النمط II) الأكثر انتشاراً عند الذكور 42.4% وعند الإناث 49.4% وفي كامل العينة 47.2%. ثم يليه النسبة الأكثر انتشاراً لتصنيف الجذر الوحشي (النمط I). (عند الذكور 75.6% وعند الإناث 40.6% وفي كامل العينة 51.4%).

**الكلمات المفتاحية:** صور ثلاثية الأبعاد CBCT - الرحي الاولى السفلية الدائمة الدائمة - أنماط منظومة

القناة الجذرية.

\* أستاذ مساعد في مداواة الأسنان - الجامعة السورية الخاصة.

## Radiographical study of the shape and number of root canals of the lower first molar in Syrian populations using cone beam computed tomography (CBCT)

Assistant Prof. Dr Talal AlNahlawi\*

(Received: 10 July 2024, Accepted: 3 September 2024)

### Abstract:

Due to the fact that the morphology of the roots is very variable and complex, many descriptive laboratory studies have been conducted in order to better understand the internal anatomy of the root, the purpose of this study was to evaluate the number of roots and canal configuration of mandibular first molar and their symmetry in the male and female sexes among Syrian population. The study sample consisted of 850 CBCT images (425 images for females – 425 images for males). The images were reviewed by two endodontists. Details of gender, root number and canal configuration in each root according to Vertucci classification were recorded by studying the image according to all levels (Axial Coronal\_Sagittal\_Oplique\_3D). Statistical analysis was performed with SPSS, then the chi-square test was used. The largest proportion of the shape of the lower first molar within the studied sample was the shape of the two separate roots (males by 100% and females by 95.9% and in the whole sample by 97.2%). While the single root form was less widespread (in males 42.4%, in females 49.4% and in the whole sample 47.2%). Then it is followed by the least widespread ratio of the shape of the three roots shape (in males 75.6%, females 40.6% and in the entire sample 51.4%).

**Key-words:** three-dimensional images (CBCT), mandibular first molar, Configuration of Root Canal.

---

\*Assistant Professor in Endodontic and Operative Dentistry / faculty of Dentistry –Syrian Private University.

## المقدمة:

إن المعالجات الليبية الناجحة تحتاج إلى معرفة شاملة بالتشريح القنوي الجذري، ويعتمد هذا النجاح على معرفة التشريح الداخلي للسن وتميز الطبيعي منه من الشاذ وفهم ثلاثي الأبعاد للمنظومة القنوية الجذرية من الجزء التاجي حتى التقبة الذرية بالاتجاهين الطولي والعرضي (Torabinejad, Fouad et al. 2020, p.381).

إذ أن عدم الإحاطة الكافية بالمعرفة العلمية للتشريح الليبي يحتل المرتبة الثانية من أسباب فشل المعالجة بعد أخطاء التشخيص ووضع خطة معالجة صحيحة (Vertucci, 2005, p.3).

وتأتي الأهمية القصوى للمعرفة التشريحية الدقيقة لأقنية الجذور لدى أطباء الأسنان للتمكن من تنظيف هذه الأقنية وحشيتها بشكل ثلاثي الأبعاد فبقدر ما يستطيع الطبيب الإحاطة بكل تفاصيل الجذور وأبعادها ومكوناتها بقدر ما يستطيع التعامل معها بصورة مدرosaة ويتمكن من حل مشكلاتها وتعقيباتها (Berman and Hargreaves, 2020, p.233).

ونظراً لكون مورفولوجيا الجذور متغيرة ومعقدة للغاية احتجنا إلى دراسات متعددة لفهم التشريح بشكل أفضل وتطبيق المعالجات السريرية الأمثل (Perrini and Versiani, 2018, p.5) (Perrini and Versiani, 2019, p.3).

ولقد حظى علم مداواة الأسنان بالكثير من التطور عبر السنين وأصبحت نسب النجاح في المعالجات الليبية مرتفعة جداً وجديرة بالاهتمام كما أن الإيمان العميق بأهمية هذا العلم دفع العديد من الباحثين إلى تقصي الحقائق والعمل الدؤوب من أجل اكتشاف أسرار هذا العلم وتحقيق التقدم والنجاح فيه.

ويعد التصوير الشعاعي الذري ثالثي الأبعاد هو المعتمد أثناء الممارسات السريرية للمعالجات الليبية (Endodontontology, 2006, p.923).

إلا أن التصوير ثنائي الأبعاد لا يعطي التفاصيل كاملة وإنما يفقد للبعد الثالث (دھلیزی لسانی) كما أنه يمنع التقييم الدقيق للعلاقة بين الجذور وما يرتبط بها من آفات ذرية مع المعلم التشريحي المحيطة بها (Patel, Dawood et al. 2009, Soğur, Gröndahl et al. 2012, p.450).

فجاء التصوير ثلاثي الأبعاد للحد من هذه المشكلات لقدرته على تصوير البعد الثالث والقضاء على التراكب التشريحي مع فهم أكثر عمقاً للتشكيل الحقيقي لأنظمة الأقنية الجذرية بما في ذلك الشذوذات التشريحية (Abella, Mercadé et al. 2011, p.877) (Zhang, Wang et al. 2011, p.992) إذ إن التنوع في عدد الأقنية وتقاعراتها وجود الأقنية الجانبية يُعد من التحديات التشخيصية والعلاجية (Vertucci, 2005, p.4).

وكانت البداية من قبل قسم الأشعة في كلية طب الأسنان في Nihon في اليابان عام 1997 إذ قدم أول جهاز CBCT خاص بطب الأسنان (Arai, Tammisalo et al. 1999, p.247).

وأخذ الإقبال على استخدام التصوير الثلاثي الأبعاد في المجالات المختلفة خصوصاً في جراحة الفكين وفي المداواة الليبية (Patel, 2021, p.3) اهتماماً ملحوظاً. لكن في الوقت نفسه، ظهر بعض القلق حول كمية الإشعاع التي تترافق مع هذه

الوسيلة التشخيصية حول إذا ما كانت الفائدة المرجوة منها تعادل خطر زيادة كمية الأشعة المرافقة مقارنةً بطرق التصوير الشعاعي الأخرى (Farman, Levato et al. 2008, p.16).

حتى قدمت الجمعية الأمريكية عدداً من التوصيات التي تحدد فيها ضرورة إجراء هذه الصور للحصول على معلومات إضافية لتشخيص وعلاج الحالة إذا كانت الشكوى الرئيسية للمريض والتاريخ الطبي والفحص السريري والتقييم الشعاعي التقليدي غير كاف (Homer, Islam et al. 2009, p.189).))

#### تشريح الرحي الأولى السفلية الدائمة دائم:

تعد الأرحاء السفلية، ولا سيما الرحي الأولى السفلية الدائمة الدائمة، هي الأسنان الأكثر تكراراً في المعالجة اللبية. وييدي علاجها مجموعة متنوعة من التحديات التشريحية، وبالتالي تعد الأكثر قلعاً أيضاً (Olcay K2018). تكون الأرحاء الأولى السفلية عادة من جذرين، أحدهما أنسى والآخر وحشي. يخرج الجذر الأنسي من التاج في الاتجاه الأنسي ثم ينحني تدريجياً بالاتجاه الوحشي في الثلث الذروي، ويكون الجدار الوحشي للجذر الأنسي رقيق ويعرف باسم المنطقة الخطيرة. أما الجذر الوحشي فهو أضيق من الناحية الدهليزية اللسانية، ولكنه متراوٍ في العرض الأنسي الوحشي مقارنةً بالجذر الأنسي، وغالباً ما ينحني الجذر الوحشي بالاتجاه الأنسي. تكون أرض الحجرة اللبية شبه منحرفة أكثر من كونها مثلثة، وتقع حفرة الوصول وفوهات الأقنية الأنسيية والوحشية في الثلثين الأنسيين للتاج.

ت تكون الرحي عادة من ثلاثة أقنية؛ قناتان في الجذر الأنسي وقناة في الجذر الوحشي. ويكون نمط الأقنية في الجذر الأنسي هو النمط 4 في 55-85٪ من الحالات والنمط 2 في بقية الحالات حسب تصنيف فيرتوتسي. وتعد القناة الأنسيية الدهليزية هي أصعب قناة يمكن معالجتها بسبب مسارها المنحني، حيث تغادر الحجرة اللبية بالاتجاه الأنسي، ثم تتحول بالاتجاه الوحشي في منتصف الجذر. أما من المنظر الملائم، فتحتاجي القناة الأنسيّة الدهليزية إلى الدهليزي أولًا ثم تتحنى لسانياً. وتكون القناة الأنسيّة اللسانية أكثر استقامة في الجزء التاجي ثم تتحنى دهليزياً في الثلث الأوسط. وبالنسبة للجذر الوحشي عادة ما تأخذ القناة الوحشية المفردة (النمط 1) الشكل البيضاوي في المقطع العرضي (أحياناً على شكل كلية)، وقد يحوي الجذر الوحشي على قناتين في أكثر من 25٪ من الحالات. (Gulabivala and Ng, 2014)

#### 2-الهدف من البحث:

كان الهدف من هذا البحث دراسة الرحي الأولى السفلية الدائمة الدائمة من حيث عدد الجذور وعدد الأقنية وأشكال التقائها ضمن الجذور لدى كلا الجنسين (الذكور والإثاث) عند المرضى السوريين وذلك بدراسة صور شعاعية ثلاثة الأبعاد (CBCT).

#### 3-المواد وطرق البحث:

تصميم الدراسة: بحث إحصائي استعادية Retrospective يهدف إلى دراسة شكل وعدد أقنية جذور الرحي الأولى السفلية الدائمة الدائمة للشعب السوري.

العينة: بلغ حجم العينة 850 صورة CBCT (425 صورة للإناث\_ 425 صورة للذكور) إذ جمعت 950 صورة من عيادات أطباء التقويم والجراحة ومن أرشيف قسم تقويم الأسنان والفكين في جامعة دمشق ومن مركز أشعة خاص غير تابع للجامعة (مركز عبد الفتاح الحلبي) منذ تاريخ 1 تشرين الثاني 2022 حتى 10 كانون الثاني 2023 استوفت 850 صورة شروط انتقاء العينة بينما تم استبعاد باقي الصور.

جميع الصور الشعاعية التي تضمنتها العينة كانت قد أخذت بالجهاز المقطعي المحوسب ذي الحزمة المخروطية (Finland, Tusula, Soredex) من شركة SCANORATM 3D 2013.

إذ يؤمن هذا الجهاز مسحًا لجميع الصور مغطيًا كامل المنطقة الوجهية الفموية الفكية وفقاً للمعايير التالية:

- أبعاد حقل المسح (حقل الرؤية FOV): 130mm\*145
- شدة التيار: 15MA
- الجهد: 85 KV
- حجم الفوكسل :Voxels 0.25mm
- زمن المسح: 12 ثانية

طريقة العمل:

اجتمع طبيان مختصان في المداواة الليبية قاماً بإجراء تقييم للصور وتحليل البيانات وتوصلاً إلى اتفاق في تفسير النتائج الشعاعية ثم تم إعادة قراءة الصور بعد شهر من القراءة الأولى للتأكد من دقة النتائج المسجلة.

ثم اخترنا عينة عشوائية 10% وعرضت هذه العينة على طبيب ثالث وسجلت درجة التطابق أو الاختلاف مع نتائجنا السابقة.

تمت معالجة بيانات كل صورة باستخدام البرنامج الحاسوبي OnDemand3D (CyberMed) إذا تم ضبط إعداد الصور على:

Maximum Intensity Projection: MIP

Sharpened: لزيادة وضوح الصورة

سمكية الشريان المدروسة = 0.25mm

تم التحقق من أعداد الجذور وأعداد الأقنية وتقعراتها والتلائها من خلال دراسة الصورة وفق جميع المستويات (Axial\_Coronal\_Sagittal\_Oplique\_3D) إذا تم التوجه من الحجرة الليبية باتجاه ذرا الجذور ومن الأنسي باتجاه الوحشي كما تم تكبير الصور وتغيير إعدادات المشاهدة مثل الكثافة والتباين وعكس الألوان (Invert) إذ تمكننا من رؤية التفاصيل التشريحية بشكل أفضل وهذا ما عزز القراءة الصحيحة للصور.

وتم إجراء التحليل الإحصائي باستخدام برنامج SPSS v.25 عند مستوى الدلالة الإحصائية  $P < 0.05$  ثم استخدم اختبار كاي مربع لمقارنة الأسنان اليمنى واليسرى عند الذكور والإثاث.

وتم الاعتماد على تصنيف vertucci المكون من 8 تصنیف رئیسة وهي: شکل رقم 1

النمط الأول I:type (1\_1) قناة واحدة تمتد من الحجرة الليبية وتنتهي بذرة واحدة.

النمط الثاني II:type (1\_2) قناتان منفصلتان تغادران الحجرة الليبية ثم تلتقيان بنهاية الجذر في ذرة واحدة.

النمط الثالث III:type (1\_2\_1) قناة واحدة تغادر الحجرة الليبية ثم تنقسم إلى قناتين ضمن الجذر ثم تلتقيان بذرة واحدة في نهاية الجذر.

النمط الرابع IV:type (2-2) قناتان منفصلتان تمتدان من الحجرة الليبية إلى نهاية الجذر بذرتين منفصلتين.

النمط الخامس type V: (1\_2) قناة واحدة تغادر الحجرة اللبية ثم تتفصل في نهاية الجذر إلى قناتين بذروتين منفصلتين.

النمط السادس type VI: (2\_1\_2) قناتان منفصلتان تغادران الحجرة اللبية ثم تلتقيان ضمن الجذر ثم تعودان لتفصلا مرة أخرى وتنتهيان بذروتين مختلفتين.

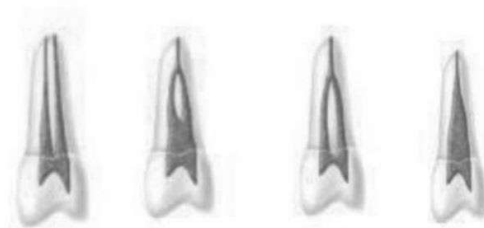
النمط السابع type VII: (1\_2\_1-2) قناة واحدة تغادر الحجرة اللبية ثم تتفصل ضمن الجذر لقناتين ثم تلتقيان ضمن الجذر أيضاً ثم تعودان للاتصال في نهاية الجذر وتنتهيان بذروتين مختلفتين.

النمط الثامن type VIII: (3) ثلاثة أقنية مفصلة تمتد من الحجرة اللبية إلى نهاية الجذر وتنتهي بثلاثة ذراً منفصلة.

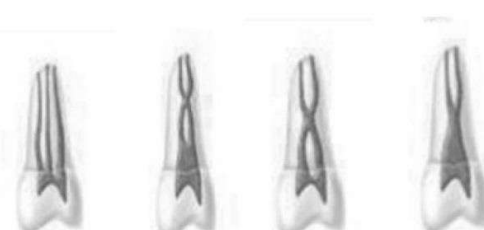
بالإضافة إلى وجود 7 تعديلات لتصنيف Vertucci حيث وجدنا في دراستنا الحالية تعديل واحد وهو

التعديل الرابع: (2\_1\_2) قناتان تخرجان من الحجرة اللبية لتجتمعا داخل الجذر وتشكلا قناة واحدة ثم تعودان لتفصلا مرة أخرى لقناتين ثم تنتهيان بذرة واحدة.

وأطلقنا عليه اسم (1) Additional .



TypeIV      TypeIII      TypeII      TypeI



TypeVIII      TypeVII      Type VI      TypeV

الشكل رقم (1): الأنماط الثمانية لتصنيف vertucci لأشكال التقاء الأقنية الجذرية (vertucci, 1984)

#### 4 - الدراسة الإحصائية التحليلية:

تم الاستقصاء عن كل من عدد جذور الرحي الأولى السفلية الدائمة وتصنيف جذور الرحي الأولى السفلية الدائمة الدائمة لكل رحي من الأرحاء الأولى السفلية الدائمة المدروسة في عينة البحث.

وقد تم اعتماد التصنيف التالي لجذور الرحي الأولى السفلية الدائمة الدائمة كما هو موضح في الجدول التالي:

**الجدول رقم (1): يبين التصنيف المعتمد لجذور الرحي الأولى السفلية الدائمة الدائمة في عينة البحث.**

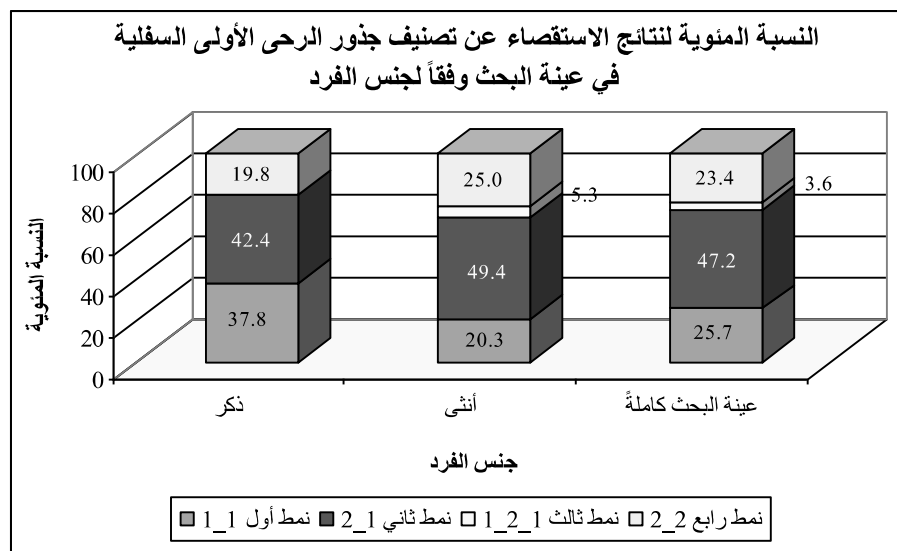
تصنيف جذور الرحي الأولى السفلية الدائمة الدائمة	
نط أول 1_1 (قناة واحدة تمتد من الحجرة اللبية وتنتهي بذرورة واحدة)	
نط ثاني 1_2 (قنانان اثنان منفصلتان تغادران الحجرة اللبية ثم تلتقيان في نهاية الجذر في ذرورة واحدة)	
نط ثالث 1_2_1 (قناة واحدة تغادر الحجرة اللبية ثم ت分成 إلى قنانين اثنتين ضمن الجذر ثم تلتقيان بذرورة واحدة في نهاية الجذر)	
نط رابع 2_2 (قنانان منفصلتان تمتلان من الحجرة اللبية إلى نهاية الجذر بذرورتين منفصلتين)	
نط خامس 2_1 (قناة واحدة تغادر الحجرة اللبية ثم تفصل في نهاية الجذر إلى قنانين اثنتين بذرورتين منفصلتين)	
نط سادس 2_1_2 (قنانان منفصلتان تغادران الحجرة اللبية ثم تلتقيان ضمن الجذر ثم تعودان لتفصلاً مرة أخرى وتنتهي بذرورتين مختلفتين)	
نط سابع 2_1_2_1 (قناة واحدة تغادر الحجرة اللبية ثم تفصل ضمن الجذر لقنانين اثنتين ثم تلتقيان ضمن الجذر أيضاً ثم تعودان للانفصال في نهاية الجذر وتنتهيان بذرورتين مختلفتين)	
نط ثامن 3_3 (ثلاث أقنية منفصلة تمتل كل منها من الحجرة اللبية إلى نهاية الجذر وتنتهي بثلاث ذراً منفصلة)	

1. دراسة تصنیف جذور الرحي الأولى السفلية الدائمة:

﴿نتائج الاستقصاء عن تصنیف جذور الرحي الأولى السفلية الدائمة في عينة البحث وفقاً لجنس الفرد:﴾

**الجدول رقم (2): يبين نتائج الاستقصاء عن تصنیف جذور الرحي الأولى السفلية الدائمة في عينة البحث وفقاً لجنس الفرد.**

جنس الفرد	نط أول 1_1	نط ثاني 2_1	نط ثالث 1_2_1	نط رابع 2_2	نط رابع 2_2	المجموع	عدد مناطق القياس					النسبة المئوية	المجموع
							نط رابع 2_2	نط ثالث 1_2_1	نط ثاني 2_1	نط أول 1_1	نط ثالث 1_2_1		
ذكر	198	222	0	37.8	104	524	42.4	1_2_1	2_1	1_1	2_2	42.4	100
أنثى	239	581	62	20.3	294	1176	49.4	1_2_1	2_1	1_1	2_2	49.4	100
عينة البحث كاملة	437	803	62	25.7	398	1700	47.2	1_2_1	2_1	1_1	2_2	47.2	100



المخطط رقم (1): يمثل النسبة المئوية لتصنيف جذور الرحي الأولى السفلية الدائمة في عينة البحث وفقاً لجنس الفرد.  
 ↳ دراسة تأثير جنس الفرد في تكرارات تصنيف جذور الرحي الأولى السفلية الدائمة في عينة البحث وفقاً لجهة الرحي الأولى السفلية الدائمة:

تم إجراء اختبار كاي مربع لدراسة دلالة الفروق في تكرارات تصنيف جذور الرحي الأولى السفلية الدائمة بين مجموعة الأرحاء الأولى السفلية لدى الذكور ومجموعة الأرحاء الأولى السفلية لدى الإناث في عينة البحث كما يلي:  
 - نتائج اختبار كاي مربع:

الجدول رقم (3): يبين نتائج اختبار كاي مربع لدراسة دلالة الفروق في تكرارات تصنيف جذور الرحي الأولى السفلية الدائمة بين مجموعة الأرحاء الأولى السفلية لدى الذكور ومجموعة الأرحاء الأولى السفلية لدى الإناث في عينة البحث.

المتغيران المدروسان = جنس الفرد × تصنیف جذور الرحي الأولى السفلية الدائمة				
دلالة الفروق	قيمة مستوى الدلالة الحرية	درجات الحرية	قيمة كاي مربع	عدد مناطق القياس
توجد فروق دالة	0.000	3	78.541	1700

يُلاحظ في الجدول أعلاه أن قيمة مستوى الدلالة أصغر بكثير من القيمة 0.05، أي أنه عند مستوى الثقة 95% توجد فروق ذات دلالة إحصائية في تكرارات تصنيف جذور الرحي الأولى السفلية الدائمة بين مجموعة الأرحاء الأولى السفلية لدى الذكور ومجموعة الأرحاء الأولى السفلية لدى الإناث في عينة البحث، وبدراسة جدول التكرارات والنسب المئوية المواقف (الجدول رقم 3) يُلاحظ أن كلاً من نسبة جذور الأرحاء الأولى السفلية ذات النمط الثاني 1\_2 ونسبة جذور الأرحاء الأولى السفلية ذات النمط الثالث 1\_3 ونسبة جذور الأرحاء الأولى السفلية ذات النمط الرابع 2\_2 في مجموعة الأرحاء الأولى السفلية لدى الذكور كانت أصغر منها في مجموعة الأرحاء الأولى السفلية لدى الإناث، وأن نسبة جذور الأرحاء الأولى السفلية ذات النمط الأول 1\_1 في مجموعة الأرحاء الأولى السفلية لدى الذكور كانت أكبر منها في مجموعة الأرحاء الأولى السفلية لدى الإناث في عينة البحث.

﴿ نتائج الاستقصاء عن تصنیف جذور الرحی الاولی السفلیة الدائمة في عینة البحث وفقاً للمنطقة المدروسة وجنس الفرد: ﴾

الجدول رقم (4): يبيّن نتائج الاستقصاء عن تصنیف جذور الرحی الاولی السفلیة الدائمة في عینة البحث وفقاً للمنطقة المدروسة وجنس الفرد.

المجموع	النسبة المئوية					عدد مناطق القياس					المنطقة المدروسة	جنس الفرد
	نمط رابع 2_2	نمط ثالث 1_2_1	نمط ثاني 2_1	نمط أول 1_1	المجموع	نمط رابع 2_2	نمط ثالث 1_2_1	نمط ثاني 2_1	نمط أول 1_1	المجموع		
100	39.7	0	60.3	0	262	104	0	158	0	في الجانب الأنسي	ذكر	في الجانب الأنسي
100	0	0	24.4	75.6	262	0	0	64	198	في الجانب الوحشي		في الجانب الوحشي
100	50.0	0	50.0	0	588	294	0	294	0	في الجانب الأنسي	أنثى	في الجانب الأنسي
100	0	10.5	48.8	40.6	588	0	62	287	239	في الجانب الوحشي		في الجانب الوحشي
100	46.8	0	53.2	0	850	398	0	452	0	في الجانب الأنسي	عينة البحث	في الجانب الأنسي
100	0	7.3	41.3	51.4	850	0	62	351	437	في الجانب الوحشي		في الجانب الوحشي

النسبة المئوية لنتائج الاستقصاء عن تصنیف جذور الرحی الاولی السفلیة في عینة البحث وفقاً لموقع جذر الرحی الاولی السفلیة وجنس الفرد



المخطط رقم (2): يمثل النسبة المئوية لتصنیف جذور الرحی الاولی السفلیة الدائمة في عینة البحث وفقاً للمنطقة المدروسة وجنس الفرد.

﴿ دراسة تأثير المنطقة المدروسة في تكرارات تصنيف جذور الرحي الاولى السفلية الدائمة في عينة البحث وفقاً لجنس الفرد: ﴾

تم إجراء اختبار كاي مربع لدراسة دلالة الفروق في تكرارات تصنيف جذور الرحي الاولى السفلية الدائمة بين مجموعة الجذور الواقعة في الجانب الأنسي ومجموعة الجذور الواقعة في الجانب الوحشي في عينة البحث، وذلك وفقاً لجنس الفرد كما يلي:

- نتائج اختبار كاي مربع:

الجدول رقم (5): يبيّن نتائج اختبار كاي مربع لدراسة دلالة الفروق في تكرارات تصنيف جذور الرحي الاولى السفلية الدائمة بين مجموعة الجذور الواقعة في الجانب الأنسي ومجموعة الجذور الواقعة في الجانب الوحشي في عينة البحث، وذلك وفقاً لجنس الفرد.

المتغيران المدروسان = المنطقة المدروسة × تصنيف جذور الرحي الاولى السفلية الدائمة					
دلالة الفروق	قيمة مستوى الدلالة	درجات الحرية	قيمة كاي مربع	عدد مناطق القياس	جنس الفرد
توجد فروق دالة	0.000	2	341.802	524	ذكر
توجد فروق دالة	0.000	3	595.084	1176	أنثى
توجد فروق دالة	0.000	3	909.704	1700	عينة البحث كاملةً

يُلاحظ في الجدول أعلاه أن قيمة مستوى الدلالة أصغر بكثير من القيمة 0.05 مهما كان جنس الفرد وفي عينة البحث كاملةً، أي أنه عند مستوى الثقة 95% توجد فروق ذات دلالة إحصائية في تكرارات تصنيف جذور الرحي الاولى السفلية الدائمة بين مجموعة الجذور الواقعة في الجانب الأنسي ومجموعة الجذور الواقعة في الجانب الوحشي مهما كان جنس الفرد وفي عينة البحث كاملةً، وبدراسة جدول التكرارات والنسب المئوية الموافق (الجدول رقم 5) يُلاحظ أن نسبة جذور الأرحاء الاولى السفلية ذات النمط الأول 1 في مجموعة الجذور الواقعة في الجانب الأنسي كانت أصغر منها في مجموعة الجذور الواقعة في الجانب الوحشي، ويُلاحظ أن نسبة جذور الأرحاء الاولى السفلية ذات النمط الرابع 2 في مجموعة الجذور الواقعة في الجانب الأنسي كانت أكبر منها في مجموعة الجذور الواقعة في الجانب الوحشي في مجموعة الأرحاء الاولى السفلية لدى الذكور ومجموعة الأرحاء السفلية لدى الإناث وفي عينة البحث كاملةً.

دراسة تأثير جنس الفرد في تكرارات تصنيف جذور الرحي الاولى السفلية الدائمة في عينة البحث وفقاً للمنطقة المدروسة: تم إجراء اختبار كاي مربع لدراسة دلالة الفروق في تكرارات تصنيف جذور الرحي الاولى السفلية الدائمة بين مجموعة الأرحاء الاولى السفلية لدى الذكور ومجموعة الأرحاء الاولى السفلية لدى الإناث في عينة البحث، وذلك وفقاً للمنطقة المدروسة وجهة الرحي الاولى السفلية الدائمة كما يلي:

نتائج اختبار كاي مربع:

الجدول رقم (6): يبيّن نتائج اختبار كاي مربع لدراسة دلالة الفروق في تكرارات تصنيف جذور الرحي الأولى السفلية الدائمة بين مجموعة الأرحاء الأولى السفلية لدى الذكور ومجموعة الأرحاء الأولى السفلية لدى الإناث في عينة البحث، وذلك وفقاً للمنطقة المدروسة وجهة الرحي الأولى السفلية الدائمة.

المتغيران المدروسان = جنس الفرد × تصنیف جذور الرحي الأولى السفلية الدائمة							
دلالة الفروق	قيمة مستوى الدلالة	درجات الحرية	قيمة كاي مربع	عدد مناطق القياس	المنطقة المدروسة	جهة الرحي الأولى السفلية الدائمة	
لا توجد فروق دالة	0.127	1	2.334	425	في الجانب الأنسي	يمين	
توجد فروق دالة	0.000	2	67.279	425	في الجانب الوحشي		
توجد فروق دالة	0.016	1	5.786	425	في الجانب الأنسي	يسار	
توجد فروق دالة	0.000	2	33.936	425	في الجانب الوحشي		

يُلاحظ في الجدول أعلاه أن قيمة مستوى الدلالة أكبر بكثير من القيمة 0.05 في مجموعة الجذور الواقعة في الجانب الأنسي من مجموعة الأرحاء الأولى السفلية اليمني، أي أنه عند مستوى الثقة 95% لا توجد فروق ذات دلالة إحصائية في تكرارات تصنیف جذور الرحي الأولى السفلية الدائمة بين مجموعة الأرحاء الأولى السفلية لدى الذكور ومجموعة الأرحاء الأولى السفلية لدى الإناث في مجموعة الجذور الواقعة في الجانب الأنسي من مجموعة الأرحاء الأولى السفلية اليمني من عينة البحث.

أما بالنسبة لكل من باقي المجموعات الفرعية للمنطقة المدروسة وجهة الرحي الأولى السفلية الدائمة فيُلاحظ أن قيمة مستوى الدلالة أصغر من القيمة 0.05، أي أنه عند مستوى الثقة 95% توجد فروق ذات دلالة إحصائية في تكرارات تصنیف جذور الرحي الأولى السفلية الدائمة بين مجموعة الأرحاء الأولى السفلية لدى الذكور ومجموعة الأرحاء الأولى السفلية لدى الإناث، وذلك في كل من المجموعات الفرعية للمنطقة المدروسة وجهة الرحي الأولى السفلية الدائمة المعنية على حدة في عينة البحث، وبدراسة جدول التكرارات والنسب المئوية الموقّع (الجدول رقم 6) يُلاحظ أن كلاً من نسبة جذور الأرحاء الأولى السفلية ذات النمط الثاني 1\_2 ونسبة جذور الأرحاء الأولى السفلية ذات النمط الثالث 1\_2 ونسبة جذور الأرحاء الأولى السفلية ذات النمط الرابع 2\_2 في مجموعة الأرحاء الأولى السفلية لدى الذكور كانت أصغر منها في مجموعة الأرحاء الأولى السفلية لدى الإناث، وأن نسبة جذور الأرحاء الأولى السفلية ذات النمط الأول 1\_1 في مجموعة الأرحاء الأولى السفلية لدى الذكور كانت أكبر منها في مجموعة الأرحاء الأولى السفلية لدى الإناث في عينة البحث، وذلك في كل من المجموعات الفرعية للمنطقة المدروسة وجهة الرحي الأولى السفلية الدائمة المعنية على حدة في عينة البحث.

## 5-المناقشة:

تعد هذه الدراسة دراسة نوعية في الجمهورية العربية السورية حسب علم الباحث والتي قدمت معلومات مفصلة عن أعداد جذور الرحى الأولى السفلية الدائمة وأعداد الأقنية ضمن هذه الجذور وأشكال التقائهما لدى كل من الذكور والإناث ضمن عينة من المجتمع السوري وذلك بسبب التوعي المورفولوجي الواسع لأنظمة الأقنية الجذرية ضمن الرحى الأولى السفلية الدائمة ولكونه السن الوحيد الذي يظهر جميع أنماط أشكال الأقنية الثمانية التي وضعها العالم (Vertucci 1984).

وذلك بدراسة صور ثلاثية الأبعاد بأثر استعادى إذ كانت الغاية المرجوة من هذه الدراسة التعرف على أشكال جذور الرحى الأولى السفلية الدائمة عند الإنسان السوري من دون خسارة هذه الأسنان لأغراض بحثية كذلك الأبحاث التي كانت تجرى مخبرياً وإنما بطريقة محافظة وذلك بغض تطور التصوير الشعاعي ولاسيما التصوير ثلاثي الأبعاد الذي يتفوق على التصوير التزويدي التقليدي بفضل القضاء على التراكب التشريحي وإظهاره للبعد الثالث للصور مع فهم أكثر عمقاً لتشكيل الحقيقي لأنظمة الأقنية الجذرية بما في ذلك الشذوذات التشريحية حيث أبدت الدراسات دقة وموثوقية صور CBCT في تحليل هندسة الجذور الداخلية والخارجية.

واستبعدت جميع صور المرضى الذين نقل أعمارهم عن 15 سنة وذلك لضمان اكتمال تشكيل الجذور وانغلاق الدّرّا.

كما استبعدت جميع الصور التي تحتوي أوتاد جذرية سواء كانت معدنية أو زيركونية لما تسببه من تشوّه في الصور .

- اتفقت نتائج دراستنا جزئياً مع دراسة Mashyakhy وزملائه عام 2019 حيث أظهرت نتائج دراستهم أن النمط الشائع للمنظومة القنوية في الجذر الوحشي هو النمط الأول حسب تصنيف Vertucci بنسبة 77% في المجتمع السعودي.
- اتفقت نتائج دراستنا جزئياً مع دراسة Chourasia وزملائه عام 2012 حيث أظهرت نتائج دراستهم أن النمط الشائع للمنظومة القنوية في الجذر الوحشي هو النمط الأول حسب تصنيف Vertucci بنسبة 65.3% متبوعاً بالنمط الثاني بنسبة 20.6% ثم النمط الرابع بنسبة 9.3% وذلك في المجتمع الهندي.
- اتفقت نتائج دراستنا جزئياً مع Lozano وزملائه عام 1999 حيث أظهرت نتائج دراستهم أن التزويي الأقني بزاوية 40° كان التزويي الأفضل في الكشف عن عدد الأقنية الموجودة في كل سن.
- اختلفت نتائج دراستنا جزئياً مع دراسة Chourasia وزملائه عام 2012 حيث أظهرت نتائج دراستهم أن النمط الشائع للمنظومة القنوية في الجذر الأنسي هو النمط الرابع حسب تصنيف Vertucci بنسبة 54% متبوعاً بالنمط الثاني بنسبة 36.6%， وربما يعود السبب إلى العرق حيث تمت دراستهم في المجتمع الهندي.
- كما اختلفنا جزئياً مع نتائج دراسة Mashyakhy وزملائه عام 2019 حيث أظهرت نتائج دراستهم أن النمط الشائع للمنظومة القنوية في الجذر الأنسي هو النمط الرابع حسب تصنيف Vertucci بنسبة 64.9%， وربما يعزى سبب الاختلاف إلى اختلاف المجتمع المدروس وبالتالي تأثير العرق على نتائج الدراسة.

الاستنتاجات:

يتوجب على أطباء الأسنان الأخذ بعين الاعتبار احتمالية وجود أشكال جذور وأشكال أقنية متعددة عند معالجة الرحي الأولى السفلية الدائمة وهذا يؤكد أهمية الوسائل الشخصية الشعاعية المتبعة لمعرفة أشكال هذه الجذور للتمكن من تقديم العلاج الأمثل وقد كان الشكل السائد عند المجتمع السوري هو شكل الجذرين المنفصلين من النمط الثاني، وكذلك يجب الأخذ بعين الاعتبار احتمالية مرتفعة للتباين بالطرفين المعالجين لدى المريض ذاته.

9-المراجع:

1. Abella, F., et al. (2011). "Managing severe curvature of radix entomolaris: three-dimensional analysis with cone beam computed tomography." International endodontic journal **44**(9): 876–885.
2. Abella, F., et al. (2015). "Cone-beam computed tomography analysis of the root canal morphology of maxillary first and second premolars in a Spanish population." Journal of endodontics **41**(8): 1241–1247.
3. Arai, Y., et al. (1999). "Development of a compact computed tomographic apparatus for dental use." Dentomaxillofacial Radiology **28**(4): 245–248.
4. Atieh, M. A. (2008). "Root and canal morphology of maxillary first premolars in a Saudi population." J Contemp Dent Pract **9**(1): 46–53.
5. Awawdeh, L., et al. (2008). "Root form and canal morphology of Jordanian maxillary first premolars." Journal of endodontics **34**(8): 956–961.
6. Berman, L. H. and K. M. Hargreaves (2020). Cohen's Pathways of the Pulp—E-Book, Elsevier Health Sciences.
7. Celikten, B., et al. (2016). "Cone-beam CT evaluation of root canal morphology of maxillary and mandibular premolars in a Turkish Cypriot population." BDJ open **2**(1): 1–5.
8. Chaparro, A., et al. (1999). "Number of roots and canals in maxillary first premolars: study of an Andalusian population." Dental Traumatology **15**(2): 65–67.
9. Dinakar, C., et al. (2018). "Root canal morphology of maxillary first premolars using the clearing technique in a south Indian population: An in vitro study." International Journal of Applied and Basic Medical Research **8**(3): 143.
10. Endodontontology, E. S. o. (2006). "Quality guidelines for endodontic treatment: consensus report of the European Society of Endodontontology." International endodontic journal **39**(12): 921–930.

11. Evans, M. (2020). "Ingle's Endodontics 7."
12. Farman, A. G., et al. (2008). "In practice: how going digital will affect the dental office." *The Journal of the American Dental Association* **139**: S14–S19.
13. Gupta, S., et al. (2015). "Root and canal morphology of maxillary first premolar teeth in north Indian population using clearing technique: an in vitro study." *Journal of conservative dentistry: JCD* **18**(3): 232.17
14. Horner, K., et al. (2009). "Basic principles for use of dental cone beam computed tomography: consensus guidelines of the European Academy of Dental and Maxillofacial Radiology." *Dentomaxillofacial Radiology* **38**(4): 187–195.
15. Jain, P., et al. (2015). "Endo–Perio management of maxillary first premolar with three distinct roots and three canals diagnosed with Cone Beam Computed Tomography—A rare case report." *Endodontontology* **27**(2): 192.
16. Karunakaran, J. V., et al. (2019). "Maxillary permanent first premolars with three canals: Incidence analysis using cone beam computerized tomographic techniques." *Journal of pharmacy & bioallied sciences* **11**(Suppl 2): S474.
17. Li, Y.-h., et al. (2018). "Symmetry of root anatomy and root canal morphology in maxillary premolars analyzed using cone-beam computed tomography." *Archives of oral biology* **94**: 84–92.
18. Mashyakhy, M. (2021). "Anatomical Evaluation of Maxillary Premolars in a Saudi Population: An In Vivo Cone-beam Computed Tomography Study." *The Journal of Contemporary Dental Practice* **22**(3): 284–289.
19. Ok, E., et al. (2014). "A cone-beam computed tomography study of root canal morphology of maxillary and mandibular premolars in a Turkish population." *Acta Odontologica Scandinavica* **72**(8): 701–706.
20. Parameswaran, A. (2021). "Grossman's endodontic practice." *Endodontontology* **33**(2): 118–118.
21. Patel, S., et al. (2009). "New dimensions in endodontic imaging: part 1. Conventional and alternative radiographic systems." *International endodontic journal* **42**(6): 447–462.
22. Patel, V. M. (2021). "Cone Beam Computer Tomography: Uses in Dentistry (A Mini Review)."
23. Perrini, N. and M. A. Versiani (2018). "Historical Overview of the Studies." *The Root Canal Anatomy in Permanent Dentition*: 1.

24. Perrini, N. and M. A. Versiani (2019). Historical overview of the studies on root canal anatomy. *The Root Canal Anatomy in Permanent Dentition*, Springer: 3–15.
25. Saber, S. E. D. M., et al. (2019). "Root and canal morphology of maxillary premolar teeth in an Egyptian subpopulation using two classification systems: a cone beam computed tomography study." *International endodontic journal* **52**(3): 267–278.
26. Senan, E. M., et al. (2018). "Root form and canal morphology of maxillary first premolars of a Yemeni population." *BMC Oral Health* **18**(1): 1–10.18
27. Soğur, E., et al. (2012). "Does a combination of two radiographs increase accuracy in detecting acid-induced periapical lesions and does it approach the accuracy of cone-beam computed tomography scanning?" *Journal of endodontics* **38**(2): 131–136.
28. Torabinejad, M., et al. (2020). *Endodontics e-book: Principles and practice*, Elsevier Health Sciences.
29. Vertucci, F. J. (2005). "Root canal morphology and its relationship to endodontic procedures." *Endodontic topics* **10**(1): 3–29.
30. Zhang, R., et al. (2011). "Use of cone-beam computed tomography to evaluate root and canal morphology of mandibular molars in Chinese individuals." *International endodontic journal* **44**(11): 990–999.
31. Bürklein, S., et al. (2017). "Evaluation of the root canal anatomy of maxillary and mandibular premolars in a selected German population using cone-beam computed tomographic data." *Journal of endodontics* **43**(9): 1448–1452.
32. Vertucci, F. J. (2005). "Root canal morphology and its relationship to endodontic procedures." *Endodontic topics* **10**(1): 3–29.